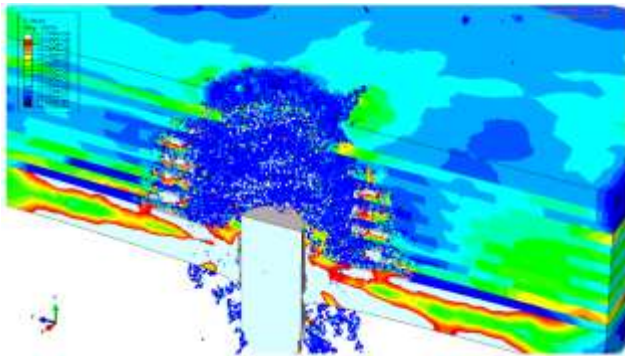




Seuraavan sukupolven Ballistiset Keraamit (BalKer)



16.11.2017 MATINE tutkimusseminaari
Tomi Lindroos, Matti Lindroos

Sisältö

1. Projektin perustiedot
2. Tavoitteet
3. Tausta
4. Tutkimusta ohjaavat kysymykset
5. Tehtävät

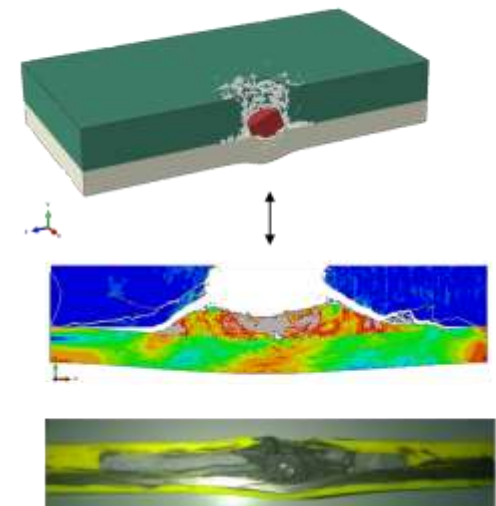
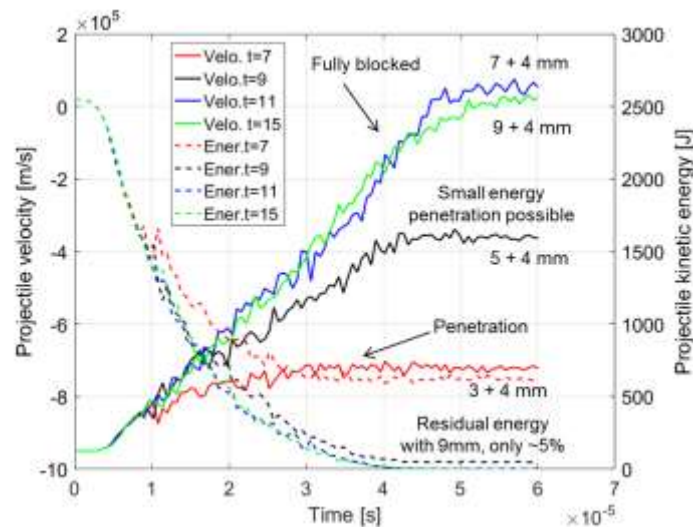
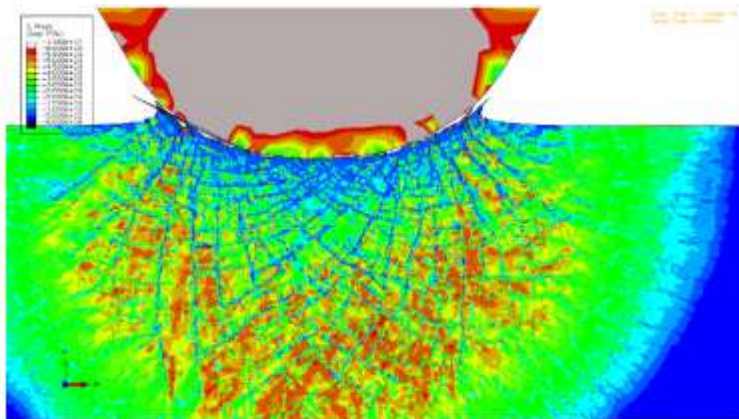
- *Seuraavan sukupolven Ballistiset Keraamit – BalKer*, projektikoodi 2500M-0075
- Projekti on suunniteltu kaksivuotiseksi alkaen 1.1.2017 ja päättyen 31.11.2018.
- Rahoitus 2017: MATINE 58 700 €, VTT 17732 €, **76432 €**
- Ohjausryhmä:
 - Tomi Lindroos, VTT
 - Ilkka Laine, (Paavo Raerinne), PVTUTKL
 - Jukka Kempainen, Exote Oy
 - Pekka Lintula, Nammo Lapua Oy

TAVOITTEET

- Projektin kokonaistavoitteena on kehittää työkaluja ja menetelmiä seuraavan sukupolven ballistisen keraamin kehittämiseksi mahdollistaen suorituskyvyn (suojaustaso / neliöpaino) kasvattamisen.
- ***Tutkimusta ohjaa hypoteesi: Kaksifaasinen lamellaarin keraamirakenne jakaa ballistisen iskun energiaa tehokkaammin ja kasvattaa näin ballistista suorituskykyä***
- Kokonaistavoite koostuu seuraavista osatavoitteista
 - Mallinnusavusteisen materiaalisuunnittelun hyödyntäminen luontoa jäljittelevän rakenteen valmistuksessa. Mallinnuksen avulla määrittää suuntaviivat kokeelliselle tutkimukselle ja näin nopeutta kehitystä.
 - Valmistaa hienojakoisen lamellaarisen mikrorakenteen omaavaa kaksifaasikeraamia reaktiivista kuumapuristusta hyödyntäen
 - Todentaa lamellaarisella rakenteella saavutettava suorituskyvyn kasvu sekä simuloimalla että käytännön ammutakokein
- Tavoiteltava neliöpaino keraamille $< 40 \text{ kg/m}^2$, suojaustasolle NIJ STD 0101.06 taso IV. Tämä mahdollistaisi taktisten suojaliivien lisälevyn (ESAPI-levy, L-koko) kohdalla noin 20% keventämisen verrattuna kaupalliseen BAE Systemsin vastaavaan 2,9 kg painoiseen levyyn [1].

TAUSTA

- 2015-2016 MATINE Balma projektin tulosten hyödyntäminen
- Mallinnusavusteinen materiaalisuunnittelu
 - Synteettiset mikrorakennemallit
 - Makrotason käyttäytyminen

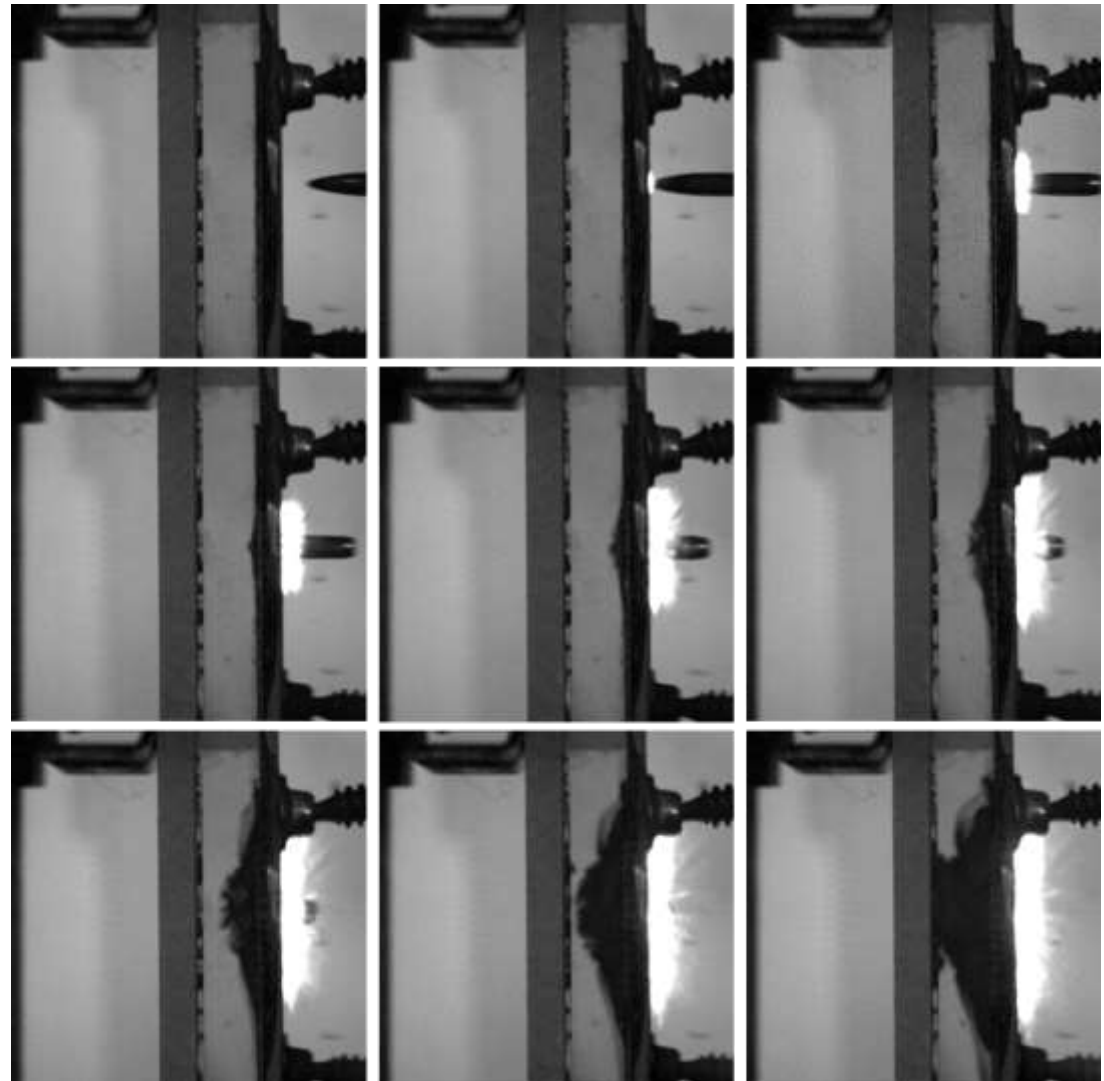
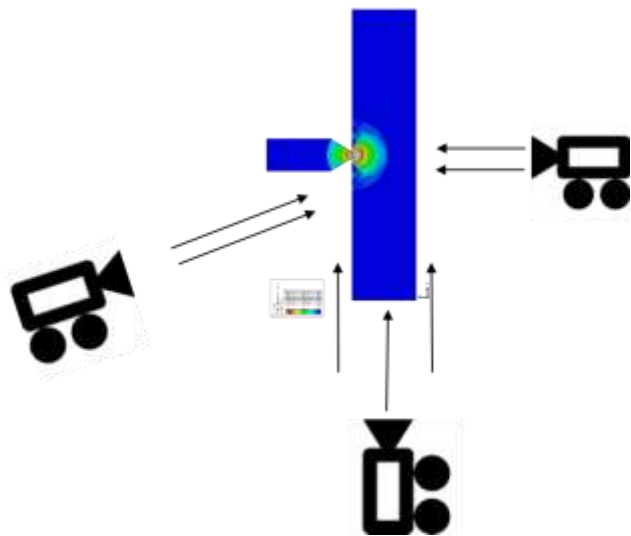


Multiple tests has shown that critical thickness is ~ 7 mm when packing is correct \rightarrow ***simulations have good correlation!***

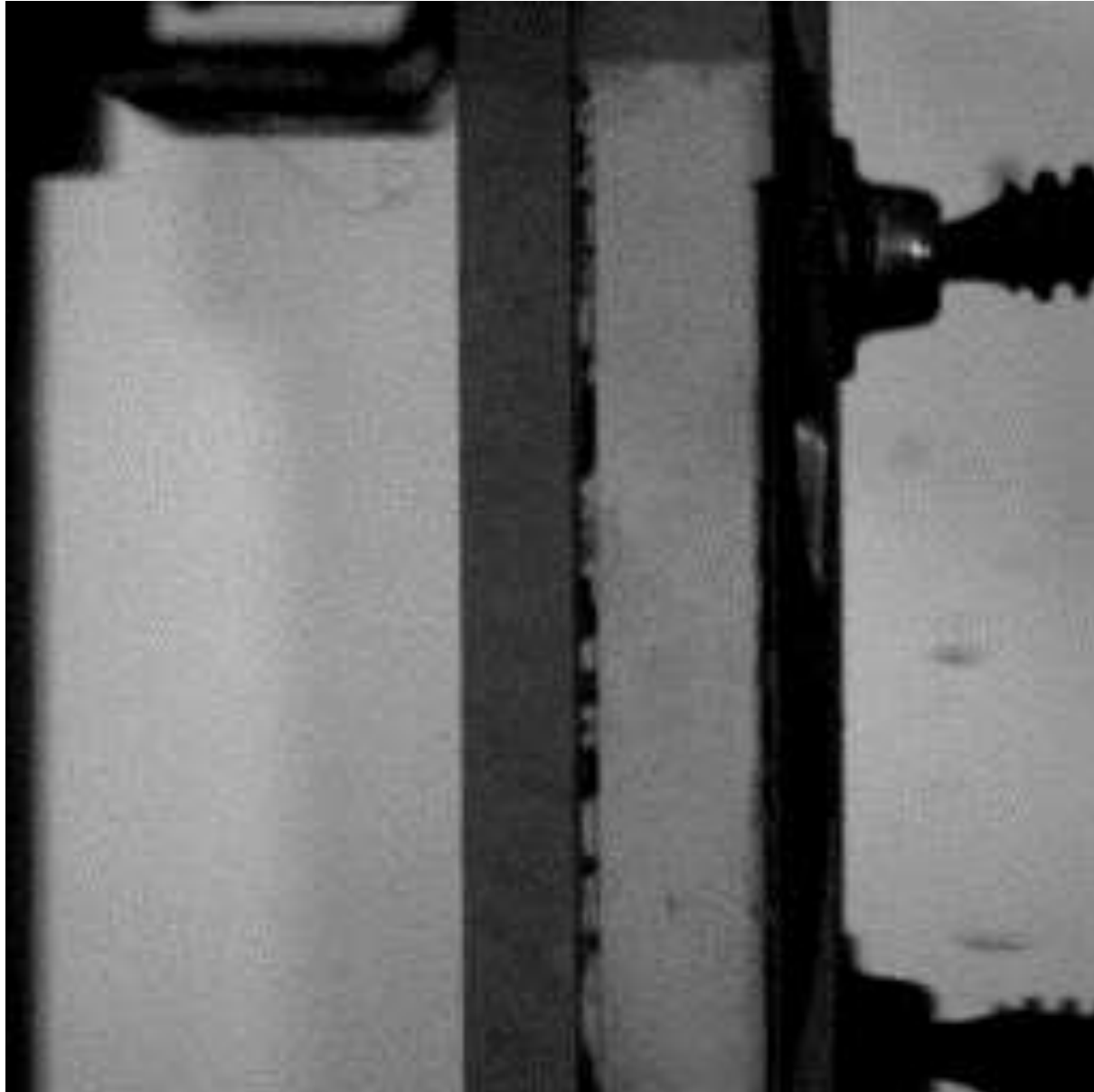
High Speed Camera tests

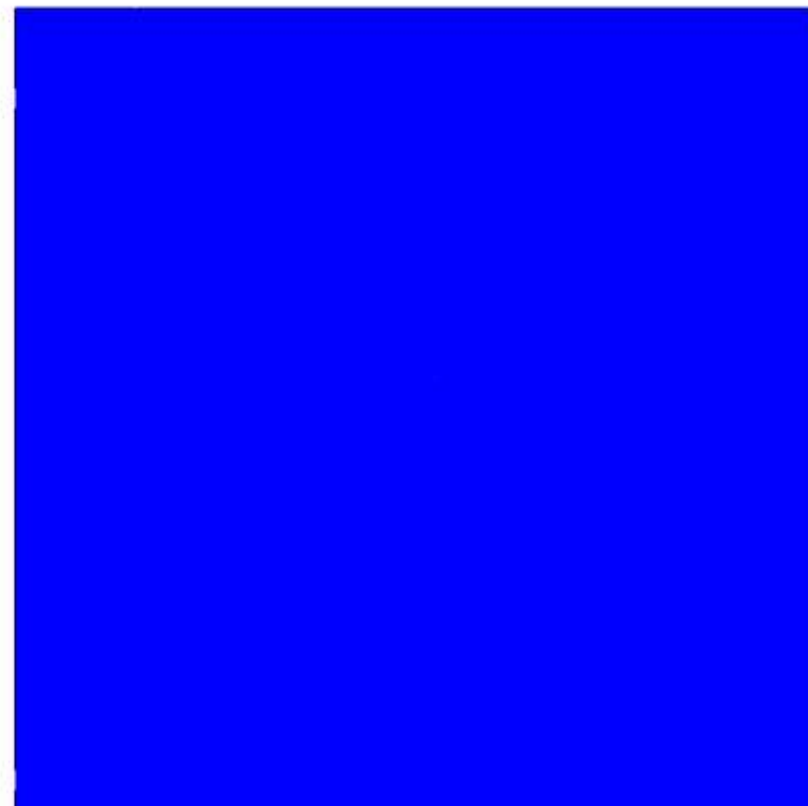
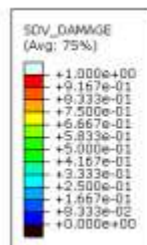
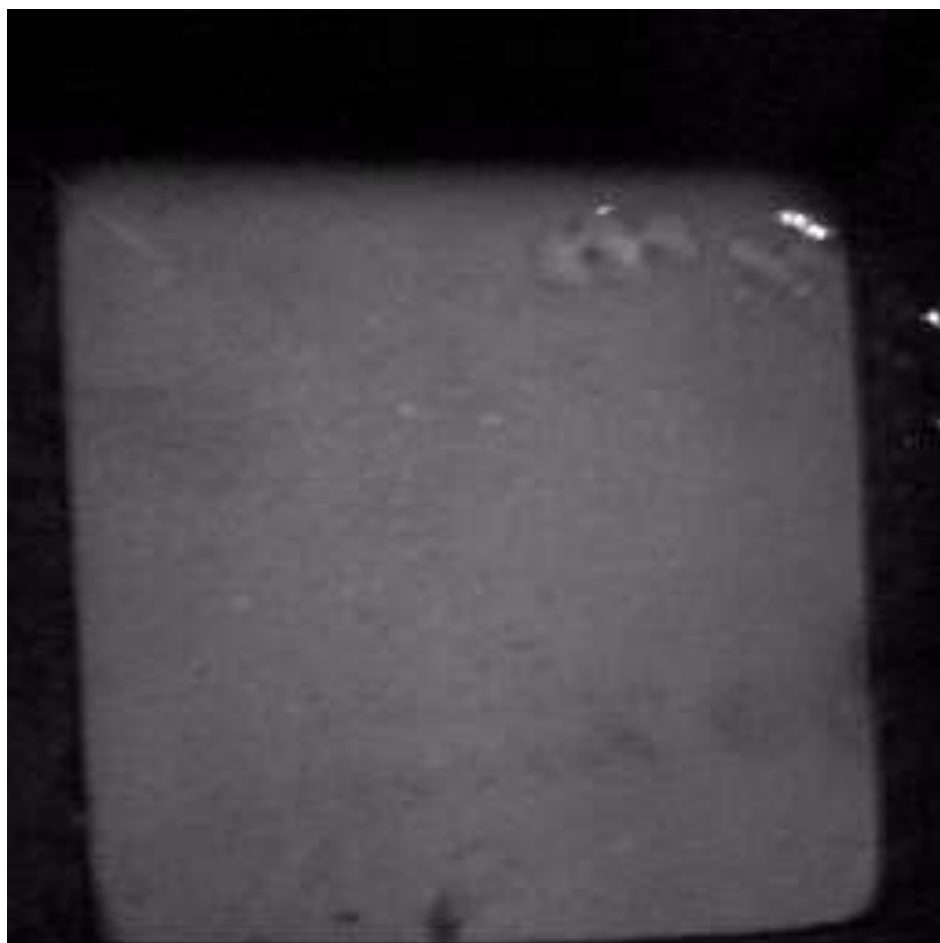
- *Verification data for models*

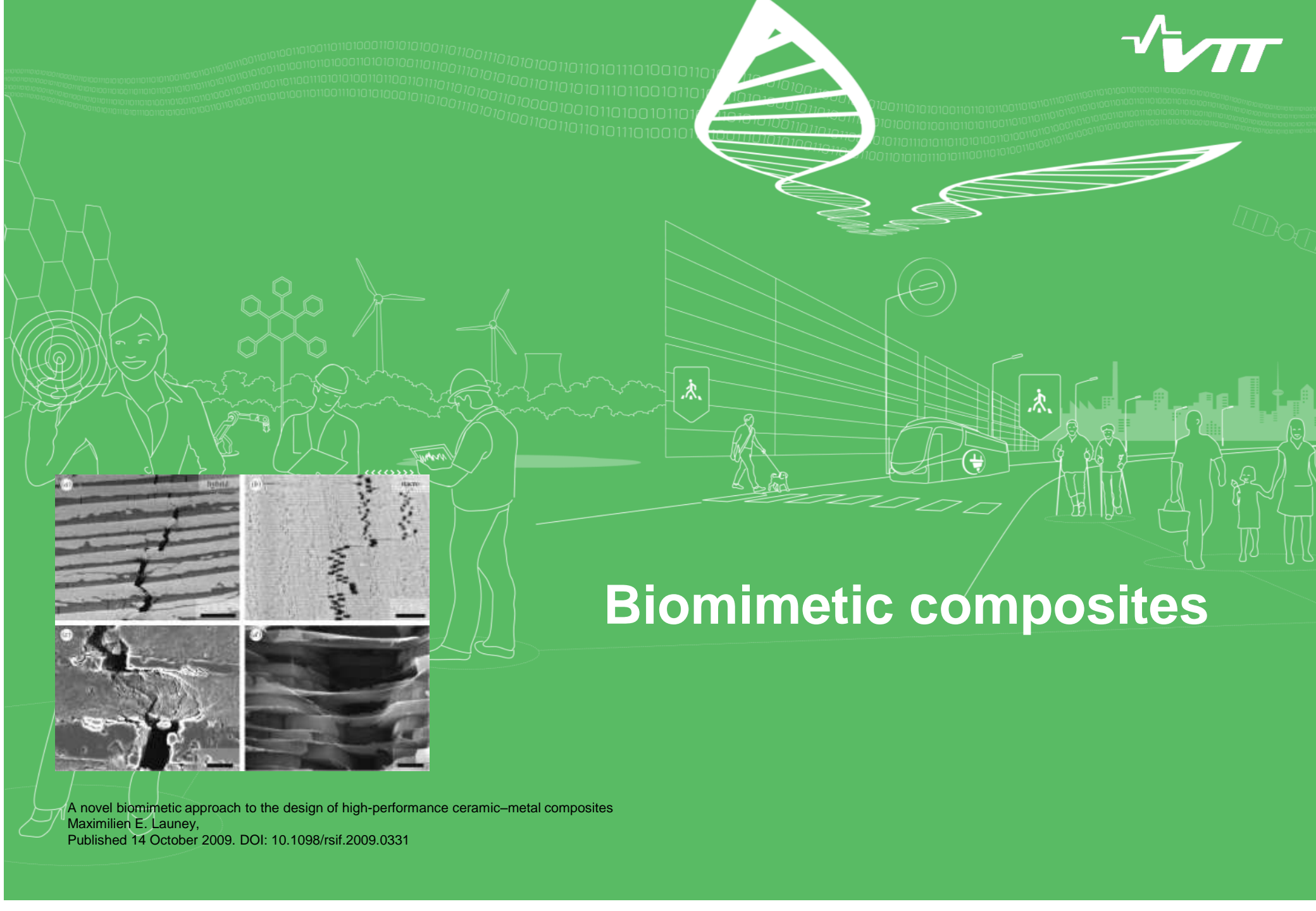
- P80
- Exote 7mm
- Polycarbonate backing
- 200 000 fps



7 mm Exote + PC tausta, P-80



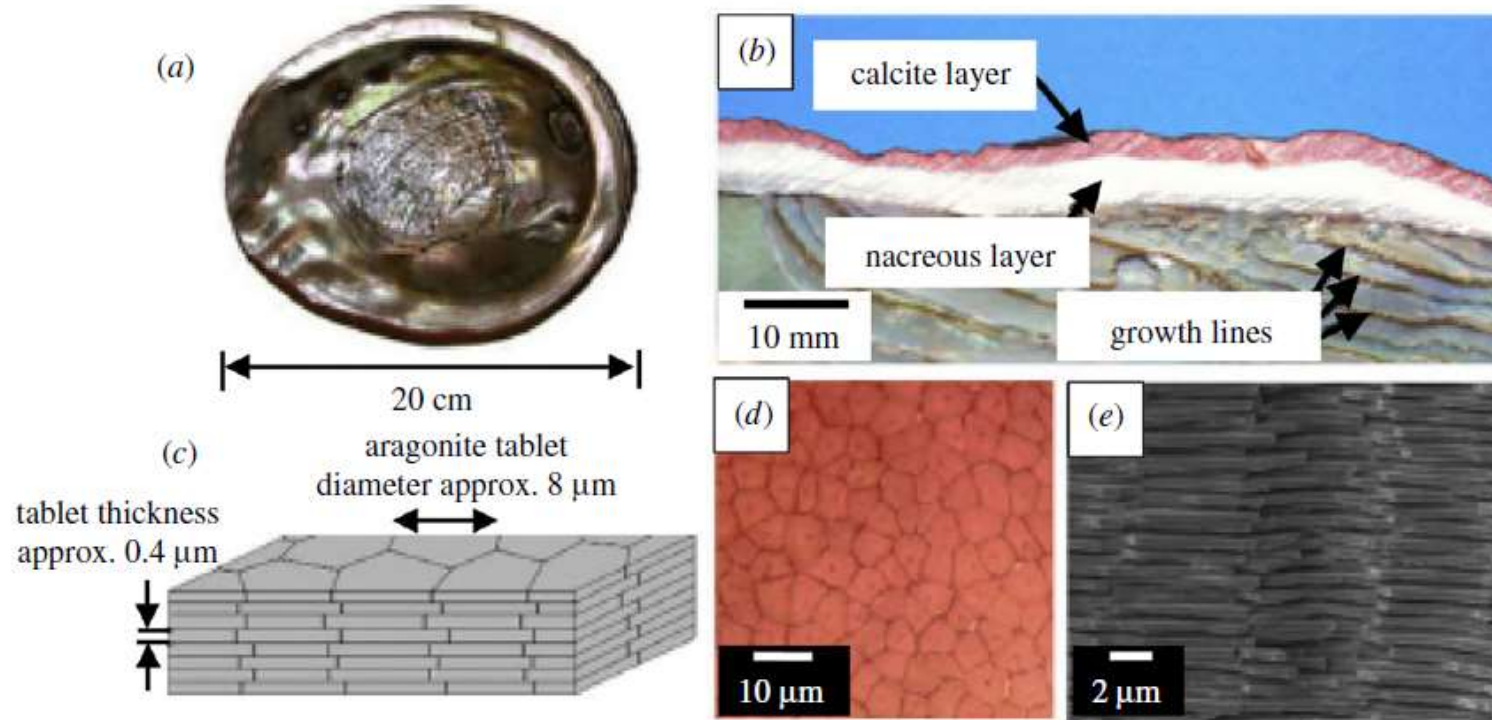




Biomimetic composites

A novel biomimetic approach to the design of high-performance ceramic–metal composites
 Maximilien E. Launey,
 Published 14 October 2009. DOI: 10.1098/rsif.2009.0331

Biomimetic composites – learning from nature



^[1] Biologically inspired crack delocalization in a high strain-rate environment C. Knipprath et.al., J. R. Soc. Interface (2012)

Biomimetic composites

744 *Biomimetic approach to composite design* M. E. Launey *et al.*

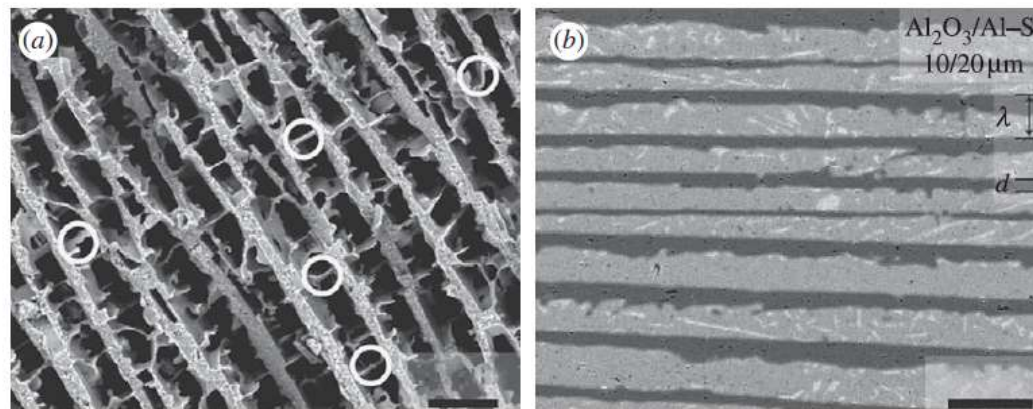
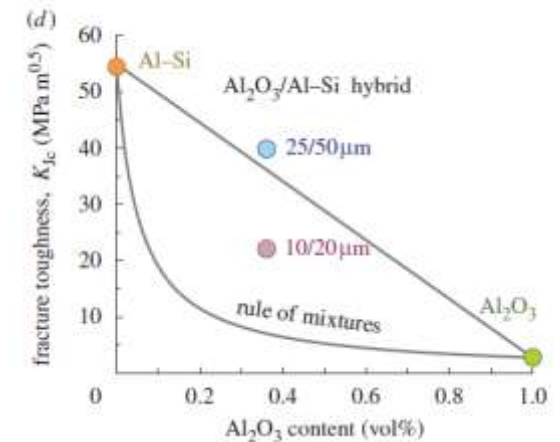


Figure 2. (a) Porous scaffolds of practical dimensions obtained by freeze-casting of ceramic suspensions. The process results in the formation of ceramic bridges—some of them are highlighted by the circles—between lamellae owing to the trapping of ceramic particles by the growing ice. (b) Backscattered electron micrograph of a 10/20 structure (the dark phase is the ceramic, the lighter phase is the metal and the bright needle-like regions are silicon precipitates). The control of the processing conditions leads to macroscopic samples that exhibit lamellar structures oriented over several centimetres followed by metal (Al–Si eutectic) infiltration. λ represents the microstructural wavelength, and d the thickness of the Al₂O₃ lamellae. Scale bar: 50 μ m.



Synteettiset mikrorakennemallit

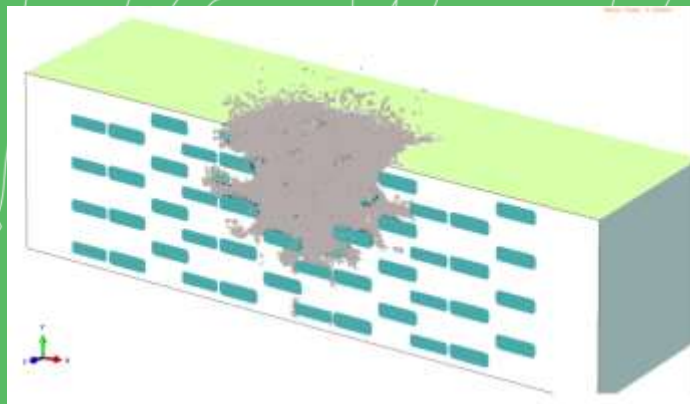
- Luodaan synteettisiä $B_4C-Al_2O_3$ mikrorakennemalleja joiden avulla tutkitaan faasiosuuksien, kokojakauman ja muodon vaikutusta materiaalin käyttäytymiseen ballistisessa iskussa

Kaksifaasikeraamit ja reaktiivinen kuumapuristus

- Ensisijainen koostumus $B_2O_3 + SiO_2 + Al + C \Rightarrow (B, Si)_4C + Al_2O_3$
- Materiaalikoostumuksen ja reaktiokinetiikan säätö, peruslähtöaineiden (B_2O_3 , Al, C) suhteiden säätö, sekä mahdolliset lisäaineen (SiO_2 , Mg, B)



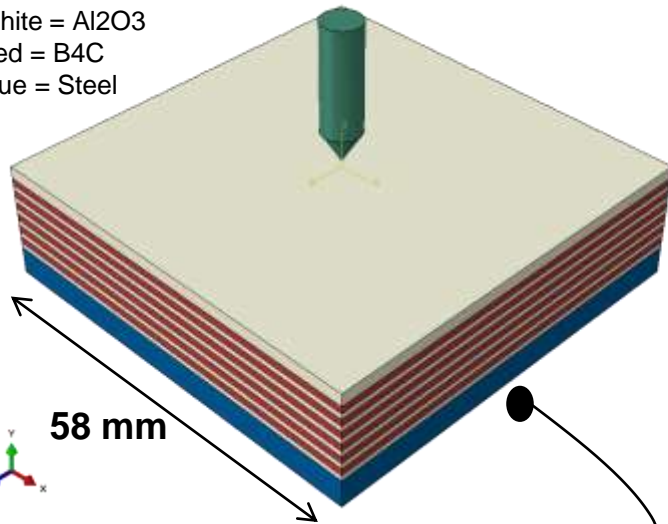
Synteettiset mikrorakennemallit



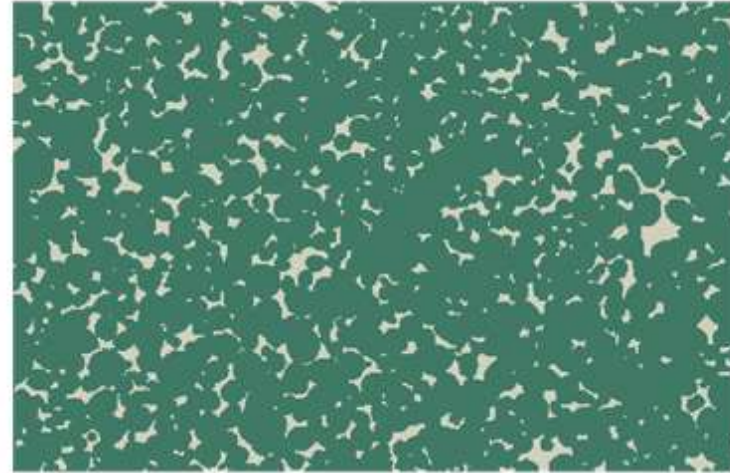
Model description – 3 stage modeling concept

Macroscopic model

White = Al₂O₃
Red = B₄C
Blue = Steel



PERFORMANCE

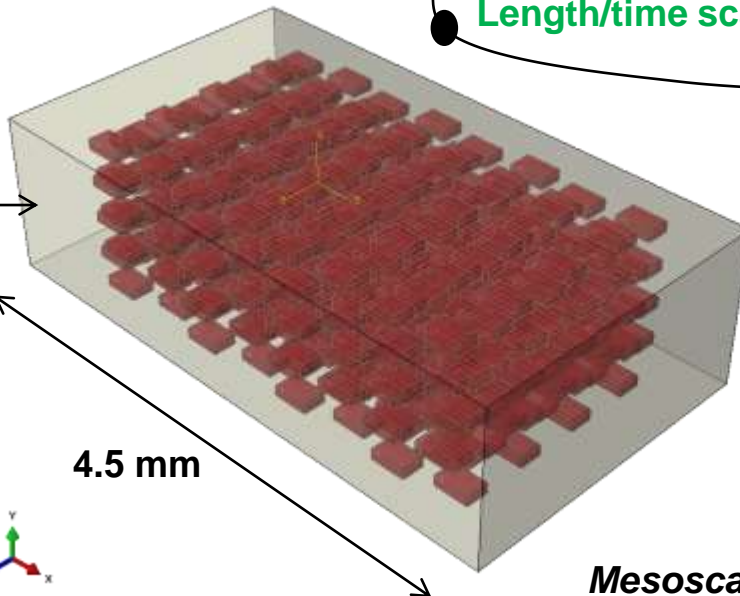


Microstructure model (Exote)

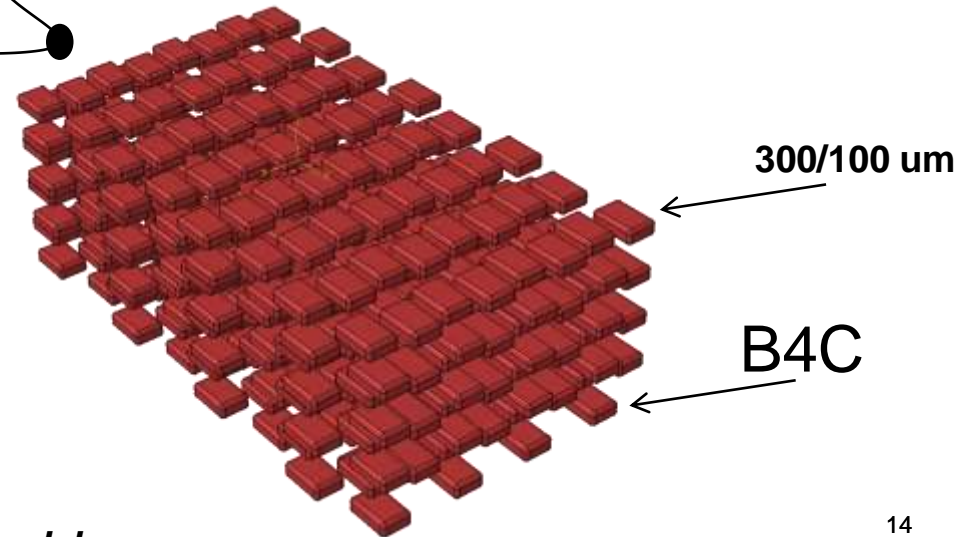
E.g., 100-1000 μm (for current material)

Length/time scale

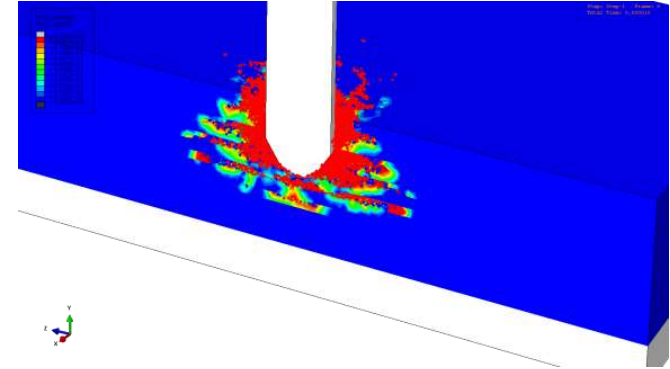
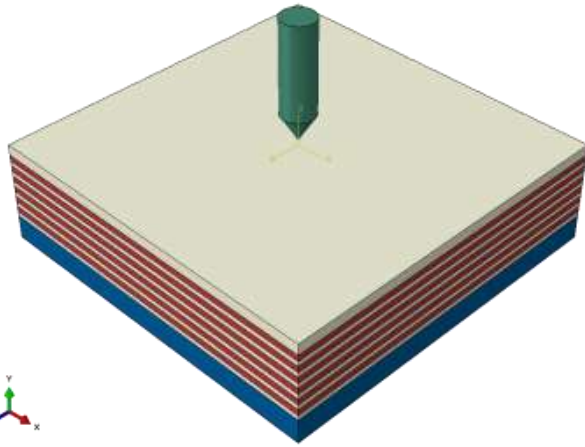
Matrix
aluminium
oxide



Mesoscale model

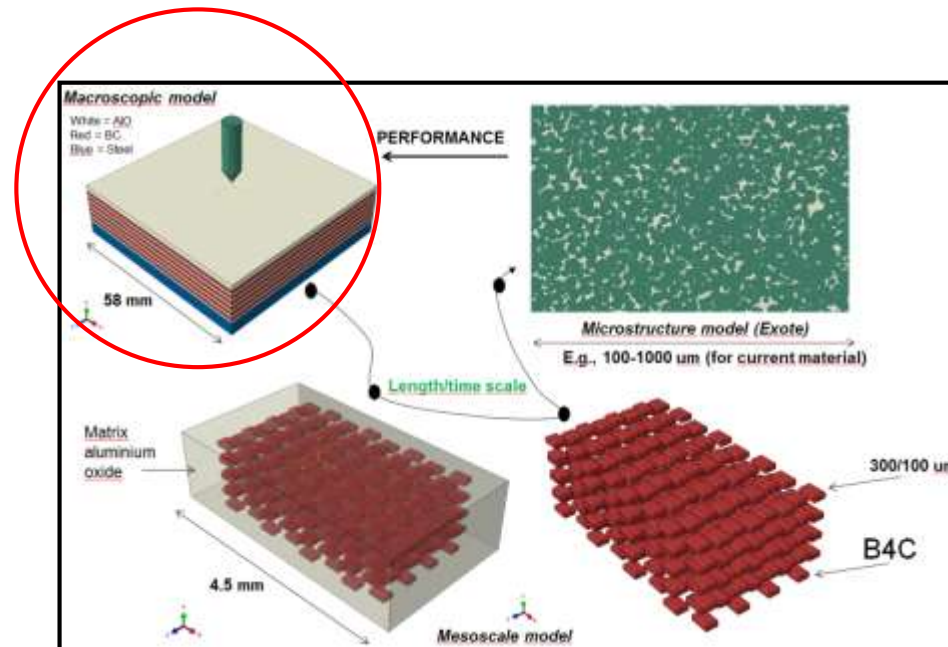


Macroscopic modeling

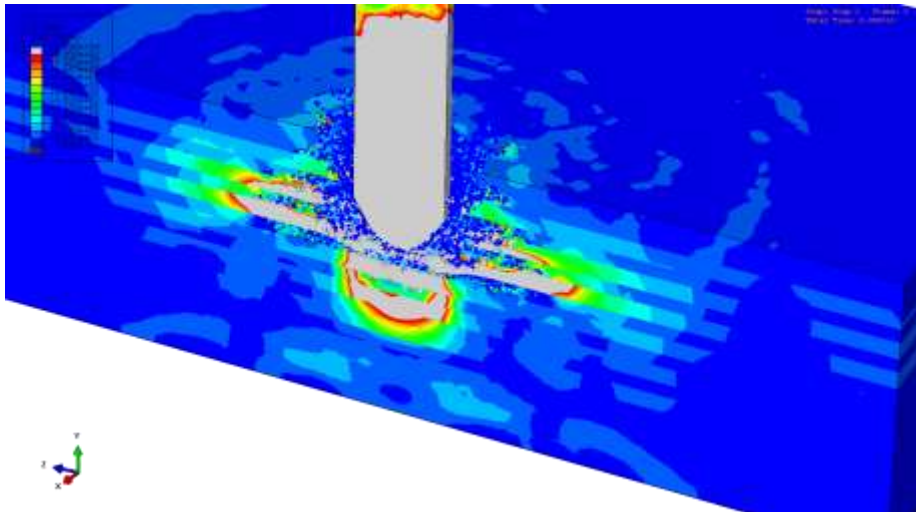
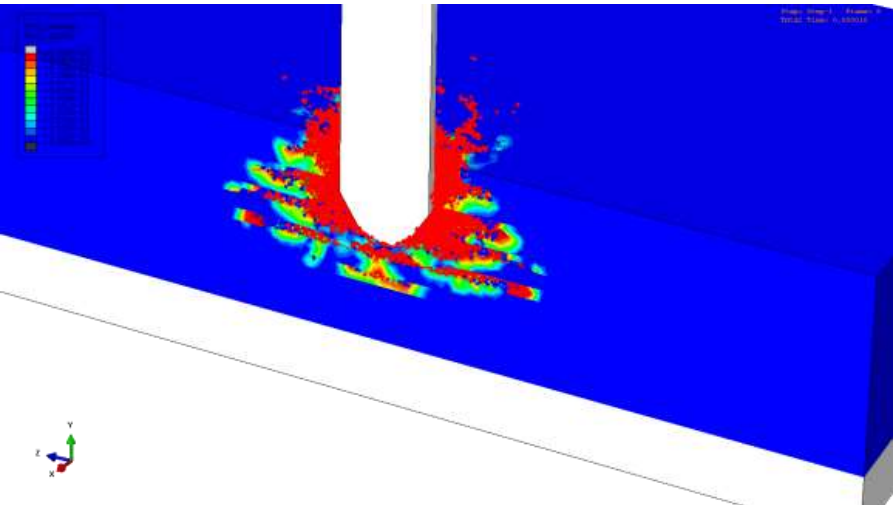
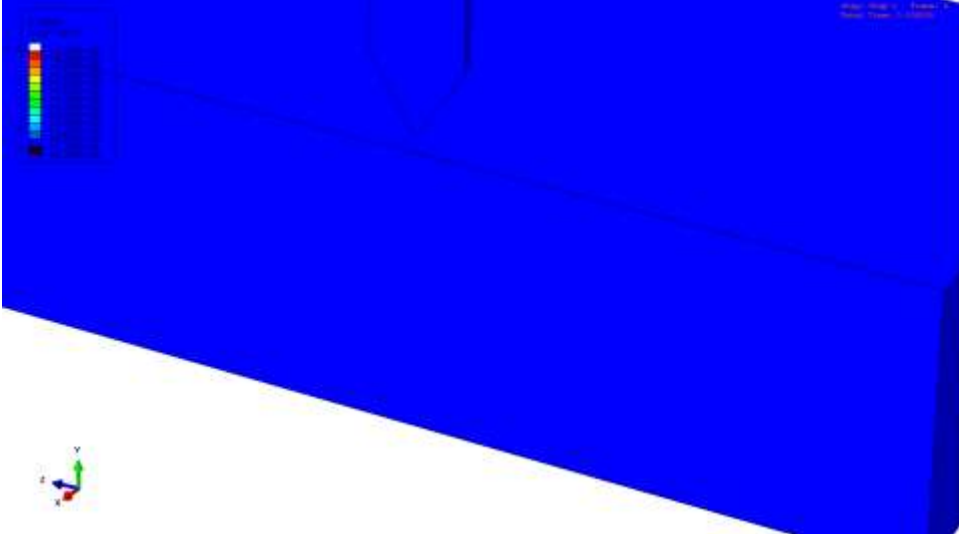
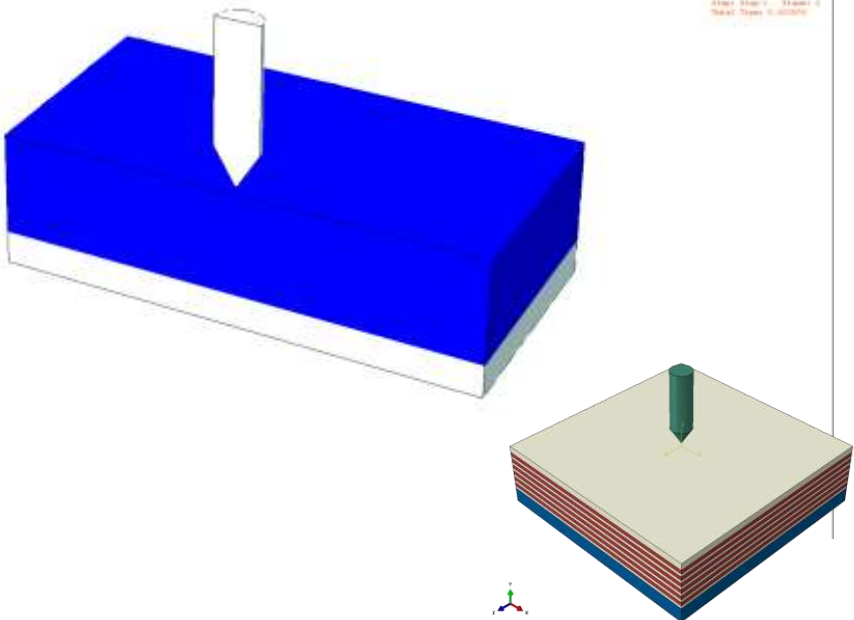
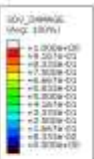


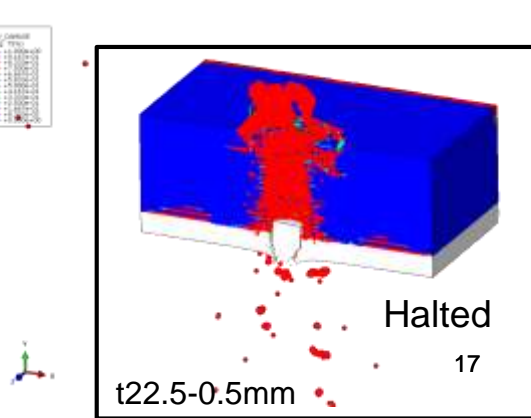
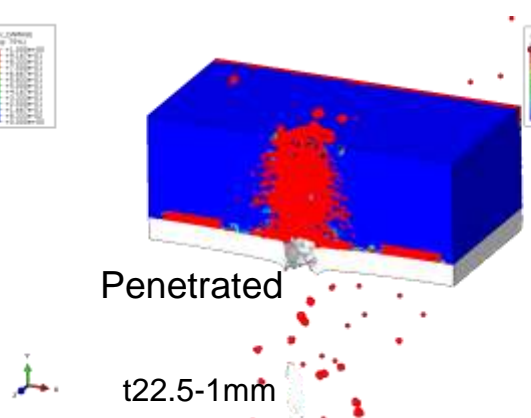
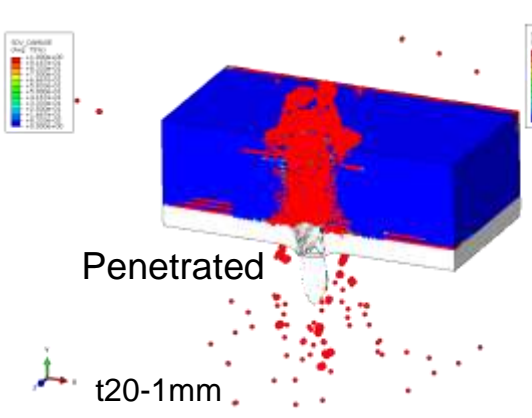
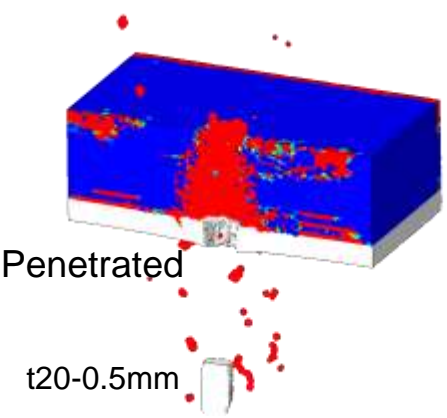
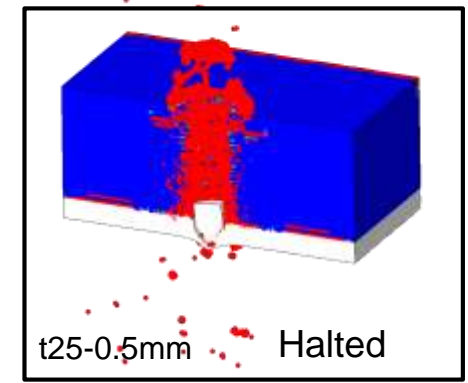
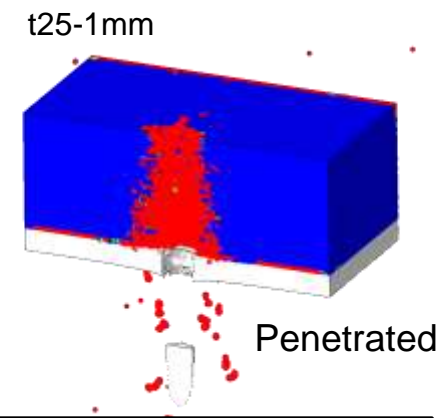
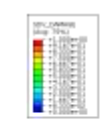
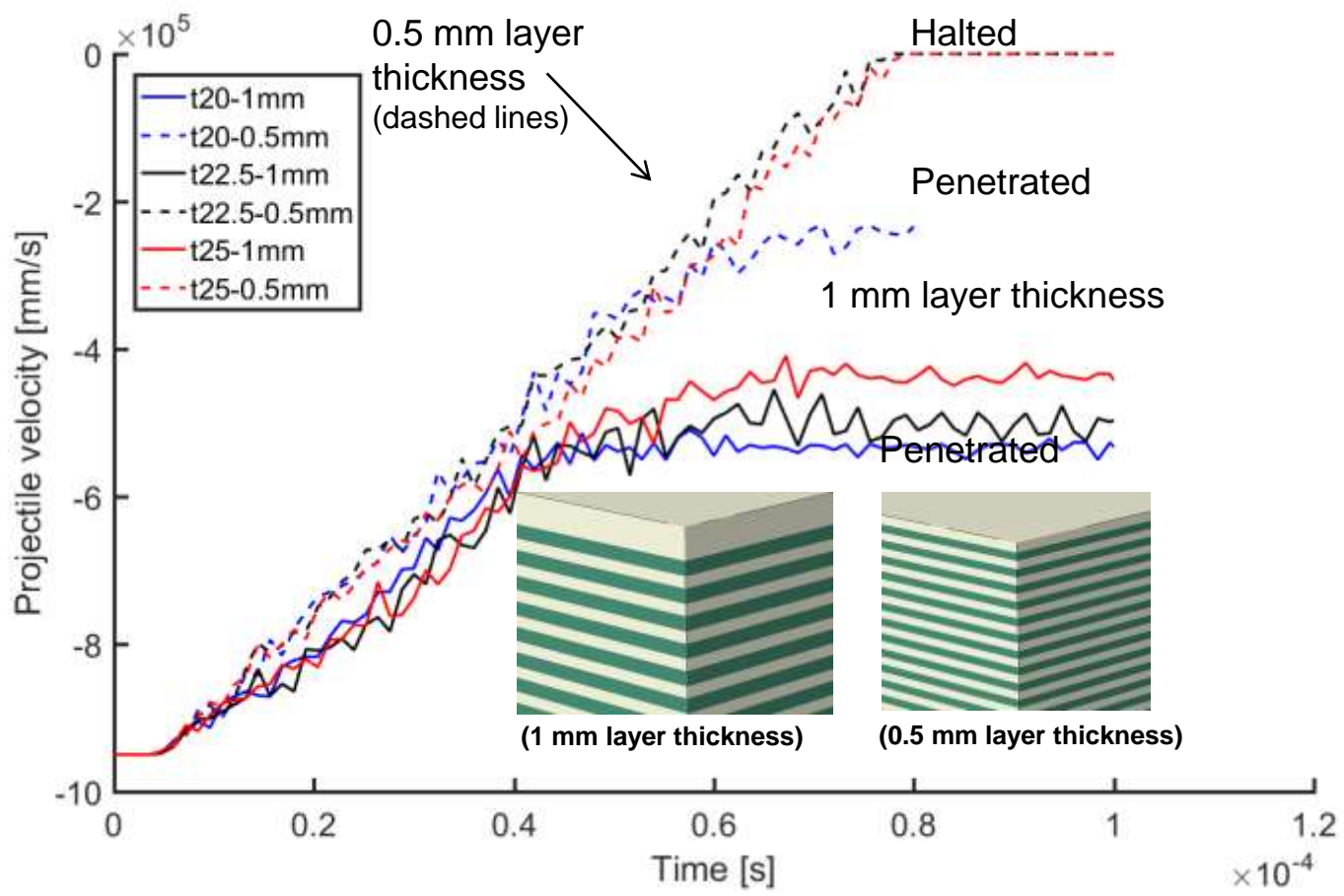
Possibilities

- Material solution performance in large scale
- Case-studies, e.g.,
 - Impact angle
 - Impact velocity
 - Projectile material
 - Lightweight vs. ballistic resistance

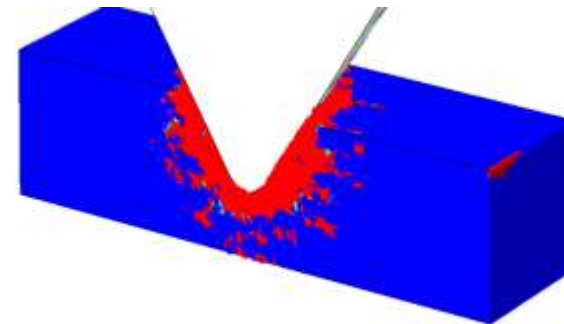
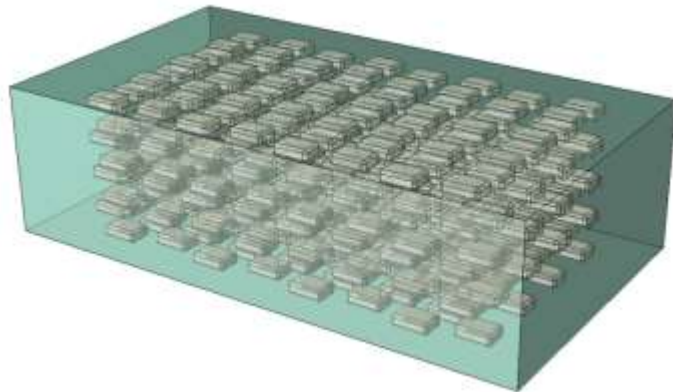


Macroscale model



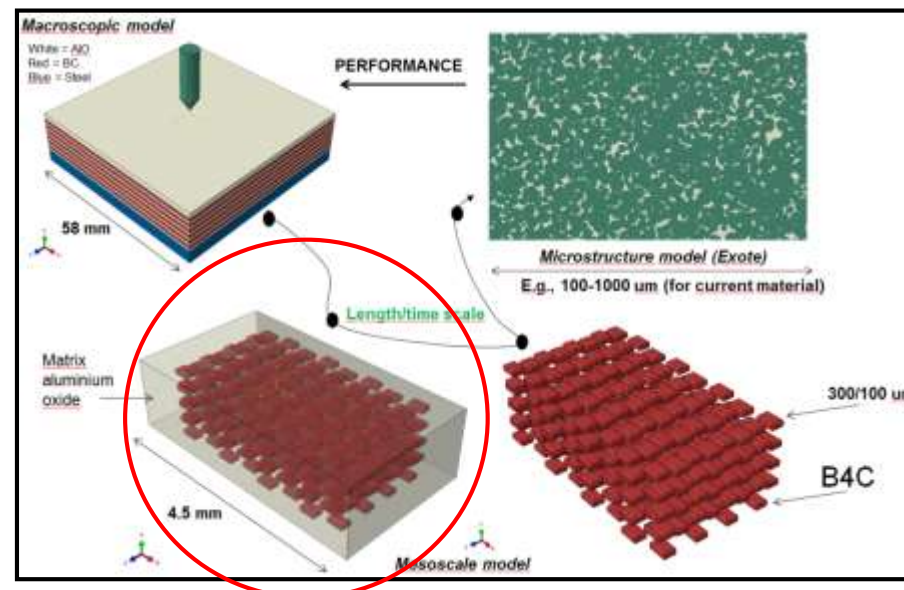


Meso-scale modeling

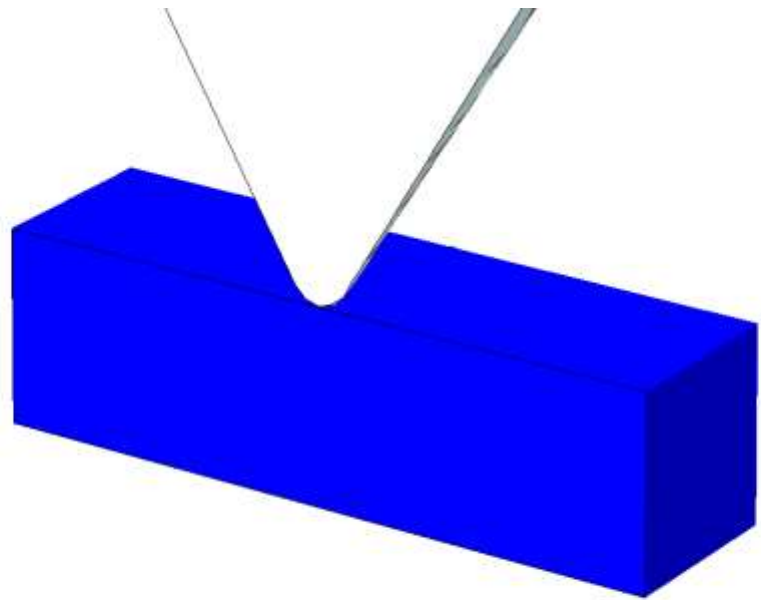


Possibilities

- Optimization of the general structure
- Meso-scale Microstructure
 - Ballistic resistance
 - Energy absorbing structure
 - Lightweight
 - Cost efficiency



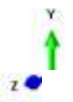
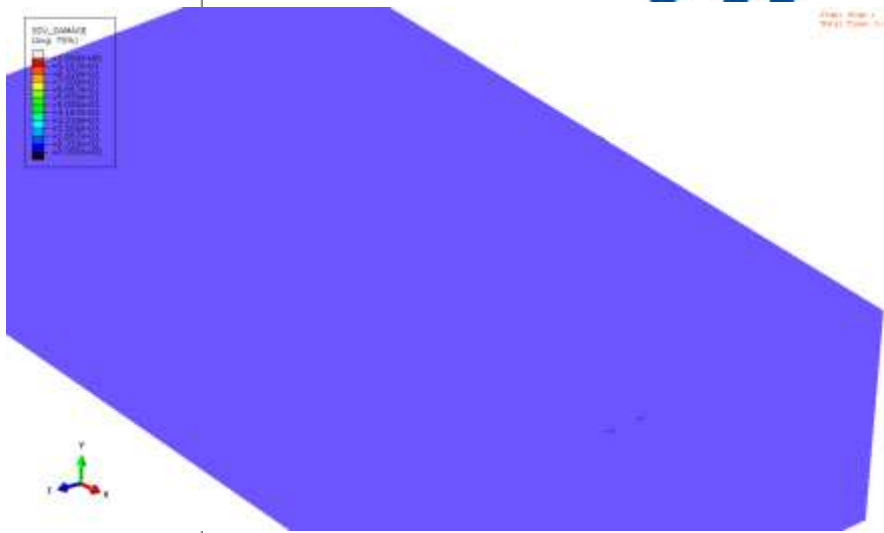
_DAMAGE
 (j 75%)
 +1.000e+00
 +9.167e-01
 +8.333e-01
 +7.500e-01
 +6.667e-01
 +5.833e-01
 +5.000e-01
 +4.167e-01
 +3.333e-01
 +2.500e-01
 +1.667e-01
 +8.333e-02
 +0.000e+00



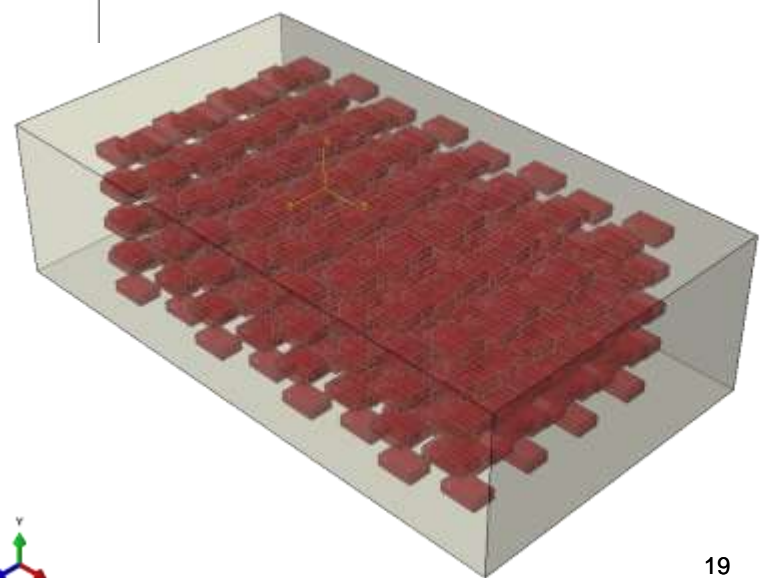
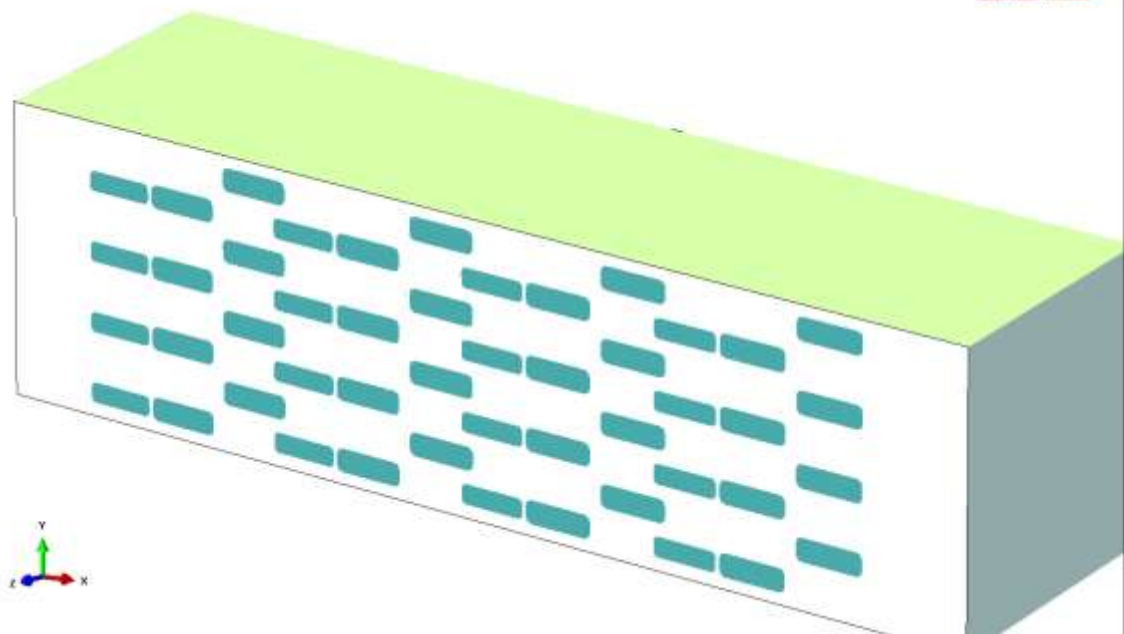
Stage: Stage 1 - Frame 0
 Metal: Time: 0.000000

DVL_DAMAGE
 (ang 75%)

1.000000
0.916667
0.833333
0.750000
0.666667
0.583333
0.500000
0.416667
0.333333
0.250000
0.166667
0.083333
0.000000

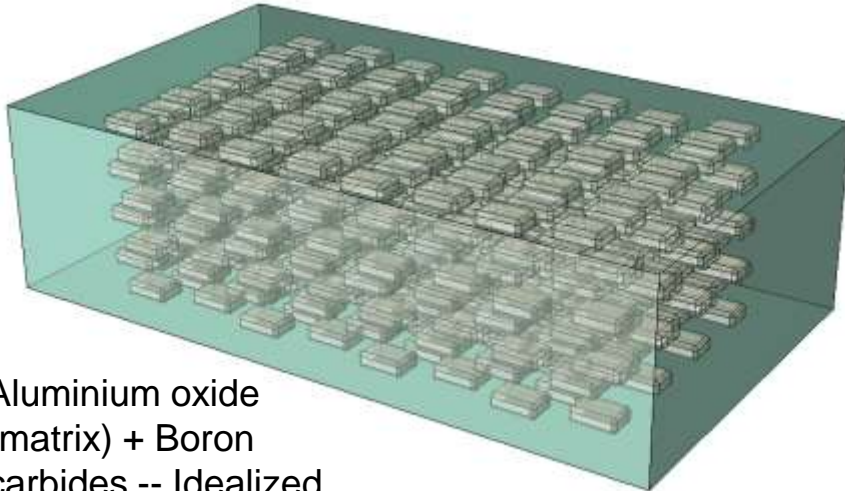


Stage: Stage 1 - Frame 0
 Metal: Time: 0.000000

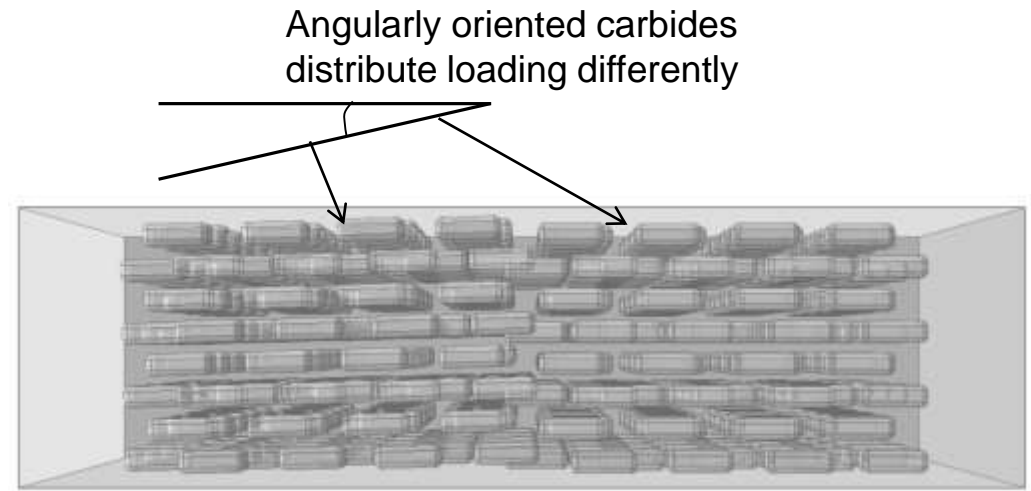


Understanding effect of microstructure

-- Idealized microstructures

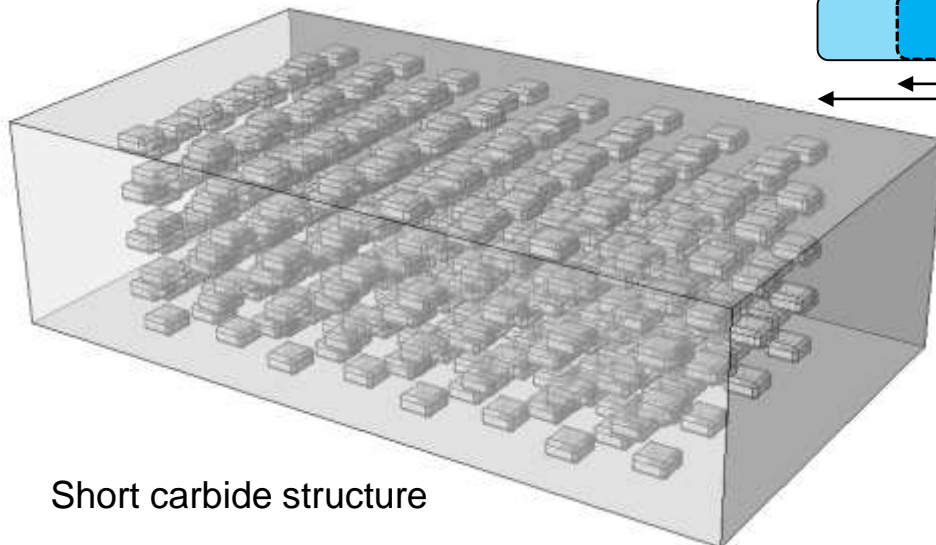
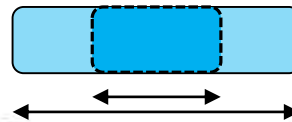


Aluminium oxide (matrix) + Boron carbides -- Idealized

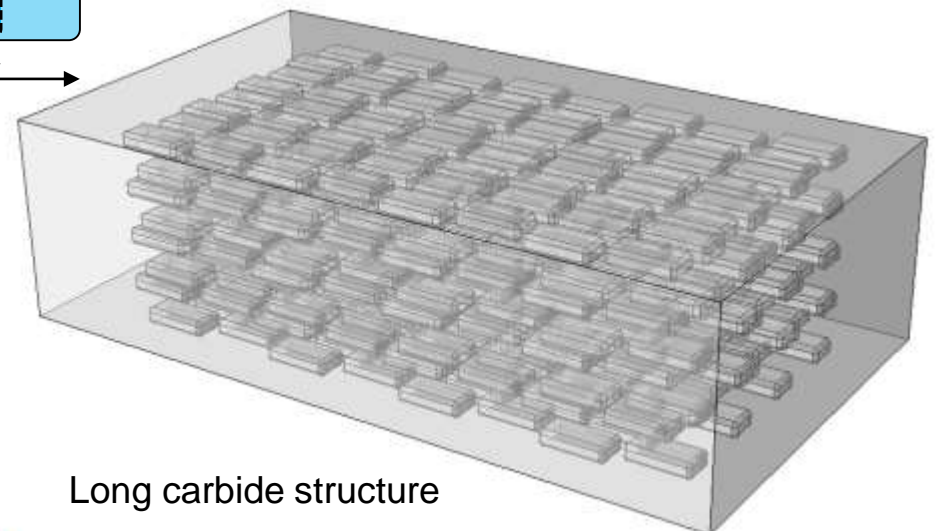


Tilted carbide structure

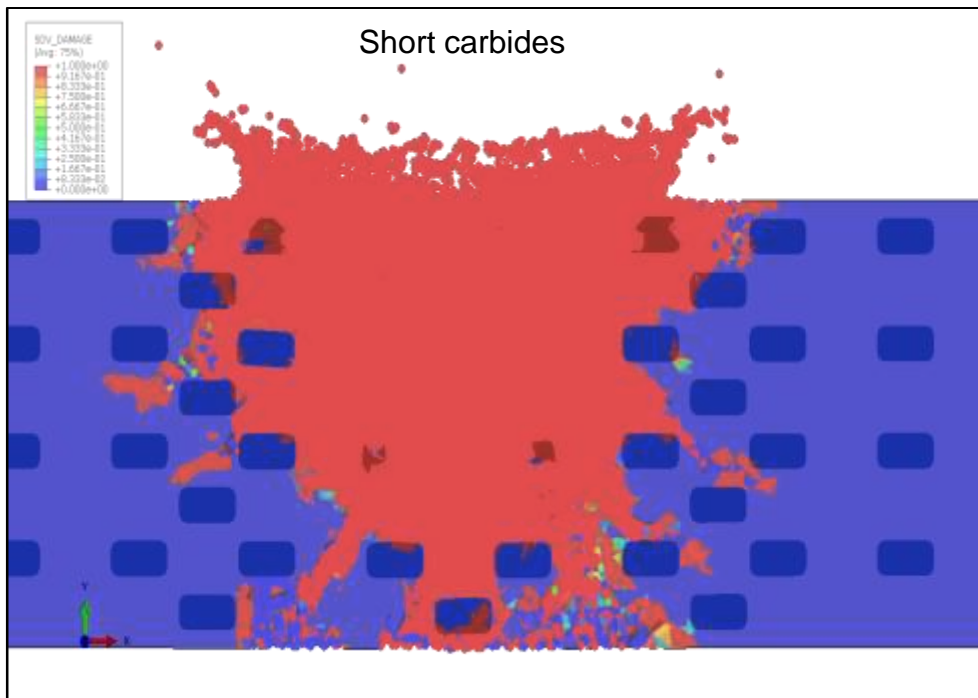
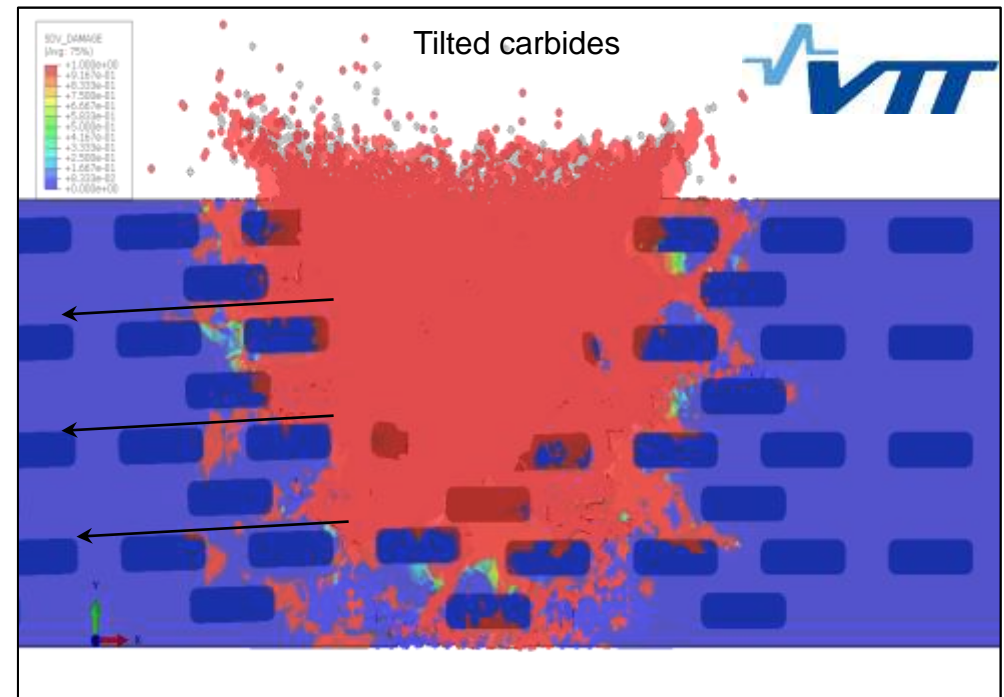
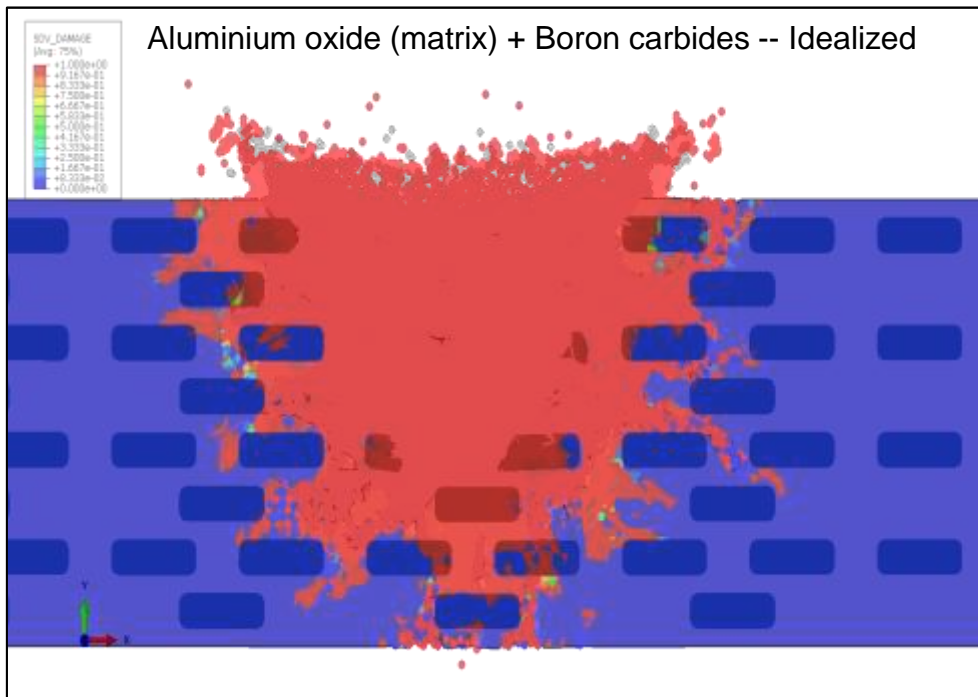
Carbide aspect ratio and shape factor?



Short carbide structure



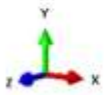
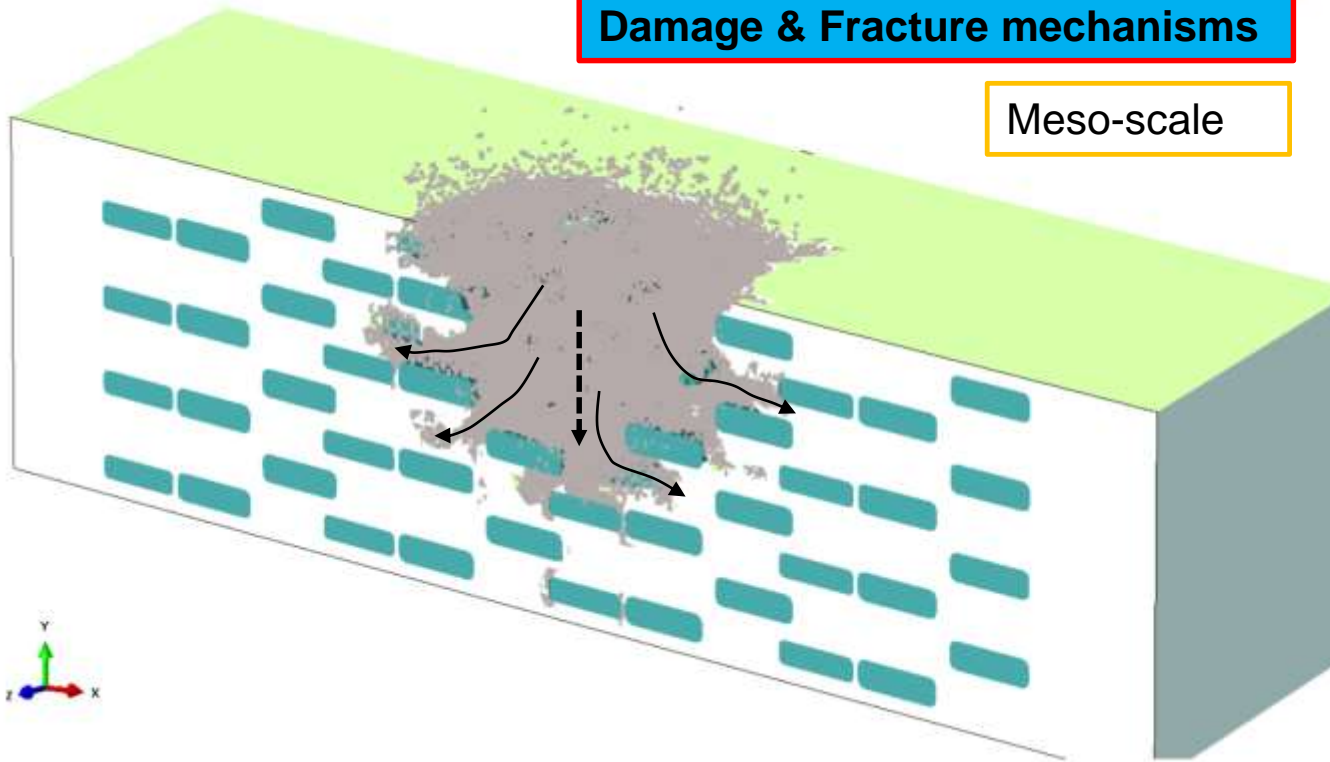
Long carbide structure



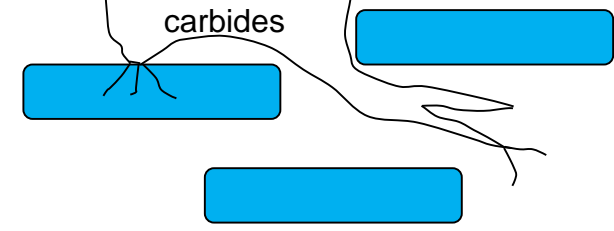
- Damage spreads around the matrix driven by carbide network
- The desired perpendicular cracking in respect to impact direction (horizontal) increases ballistic resistance of the material as the energy is consumed in the fracture process
- Tilted carbide structure projects fracture to alternative crack paths, increasing cracking but also consuming more energy;
 - → Optimization requires more studies
- Short carbides increases the volume fraction of matrix → cracking increases, but carbides provide supporting effect

Damage & Fracture mechanisms

Meso-scale

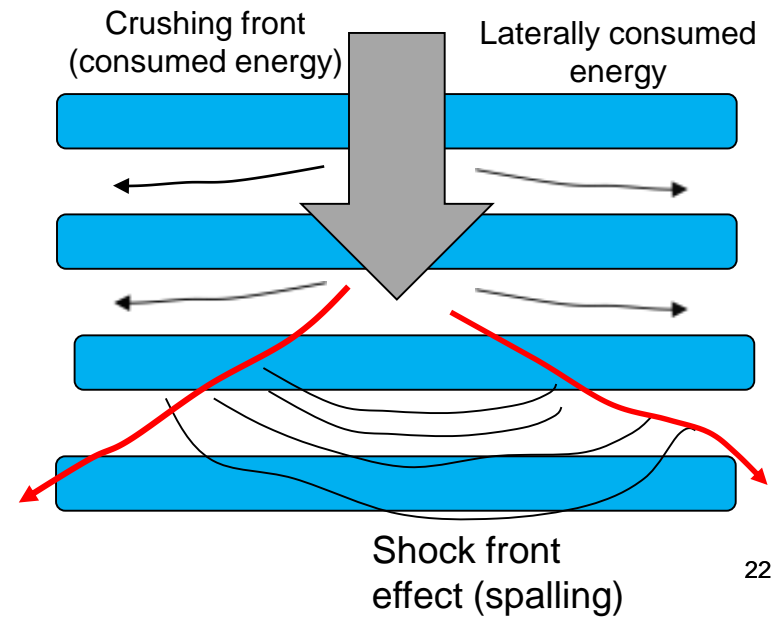
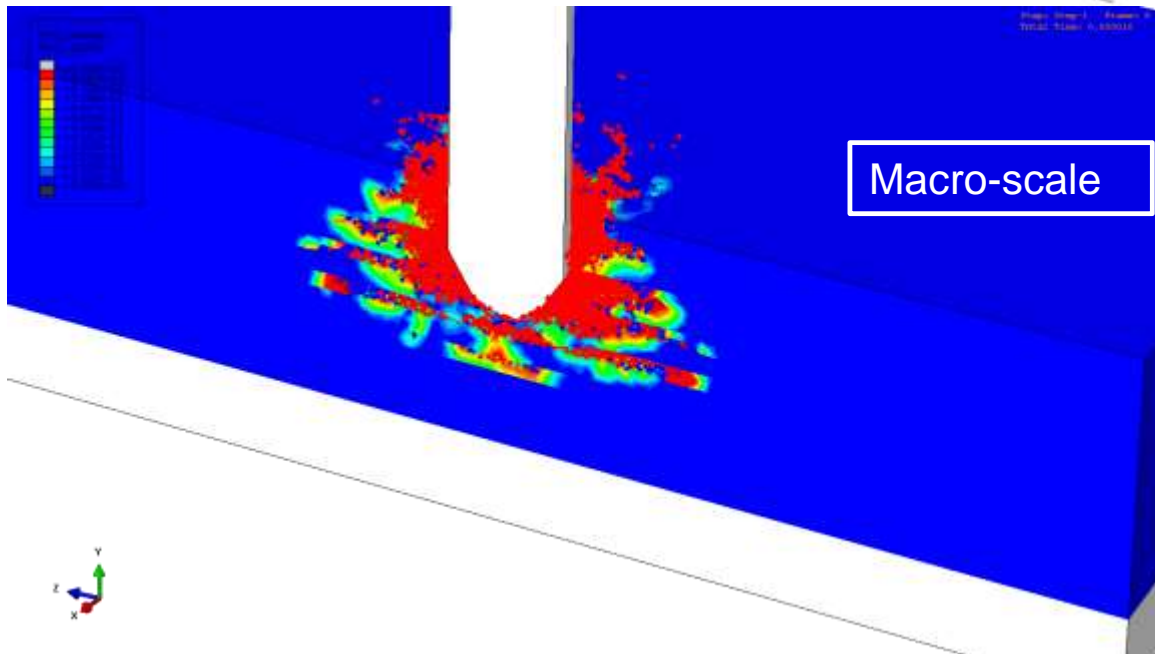


Crack propagation temporarily immobilized by carbides



Energy consumed to various fracture processes

Macro-scale



Kaksifaasikeraamit ja reaktiivinen kuumapuristus



- Dual phase structure simultaneous high hardness and fracture toughens
- Composite structure hinders stress localization in B4C phase
- Cost efficient processing with reactive hot pressing (high temperatures needed in conventional sintering)

B4C

Density = 2.52 g/cm³

Melting = 2763 °C

Hardness = 3050 HV

Al2O3

Density = 3.987g/cm³

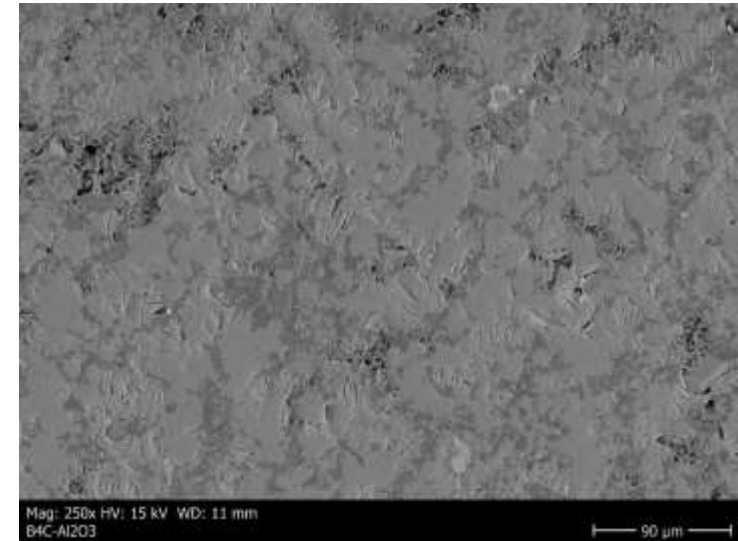
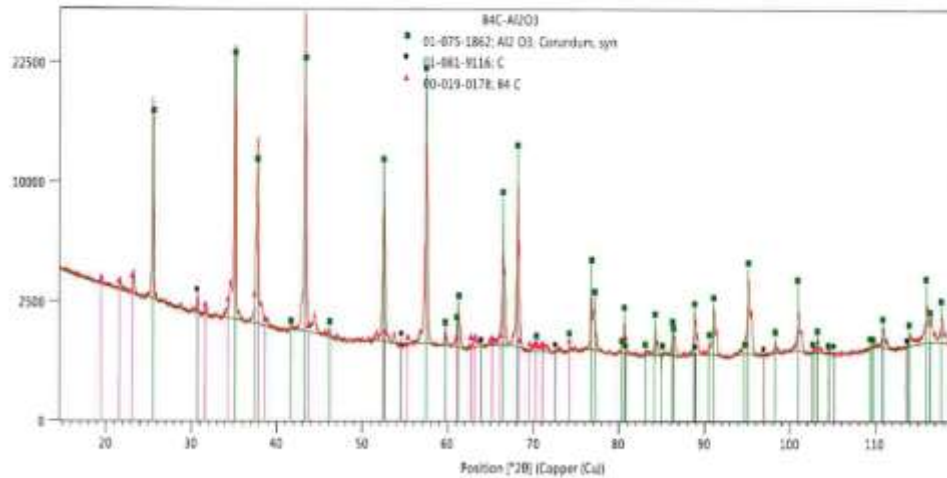
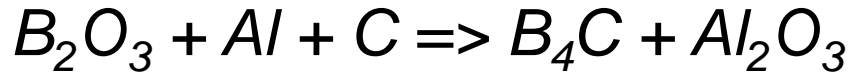
Melting = 2072°C

Hardness = 1730HV



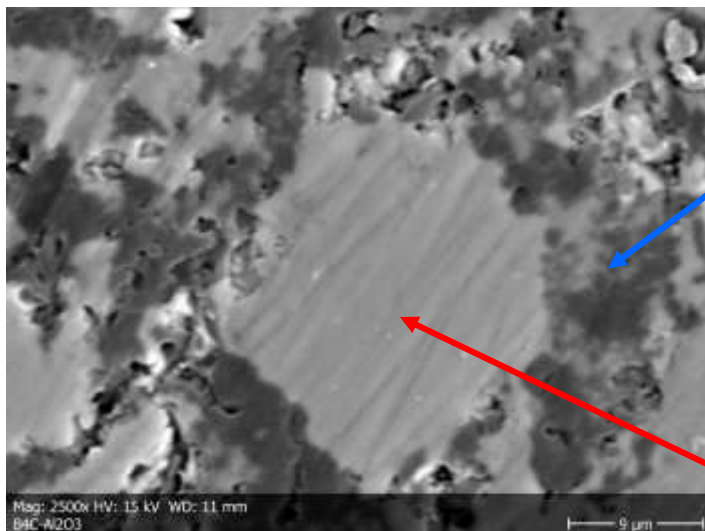
- ➔ *Narrow processing window due to high melting points ➔ cracking & porosity*
- ➔ *Lamellar structure perpendicular pressing direction observed in the first experiments*
- ➔ *Decrease of porosity lead diminishing lamellar phase structure*
- ➔ *High hardness 2000-2500HV1*

Kaksifaasikeraamit ja reaktiivinen kuumapuristus



Quantitative Results

Elt	XRay	Int	Error	K	Kratio	W%	A%	ZAF
B	Ka	169.4	18.0571	0.7271	0.3728	65.85	82.14	0.5661
C	Ka	47.2	18.0571	0.0179	0.0092	11.93	13.40	0.0770
O	Ka	42.4	18.0571	0.0062	0.0032	1.41	1.19	0.2251
Al	Ka	778.7	41.0013	0.0712	0.0365	4.28	2.14	0.8520
Au	La	18.4	0.9218	0.1775	0.0910	16.52	1.13	0.5510
				1.0000	0.5127	100.00	100.00	



Quantitative Results

Elt	XRay	Int	Error	K	Kratio	W%	A%	ZAF
O	Ka	441.5	14.2329	0.4408	0.2774	53.78	66.24	0.5159
Al	Ka	895.5	1895.3965	0.5592	0.3520	46.22	33.76	0.7614
				1.0000	0.6294	100.00	100.00	

- Idea kaksifaasikeraamin toiminnasta osoitettu mallinuksella toimivaksi
- Kehitetty mallinnustyökaluja faasi suhteiden sekä dimensioiden vaikutusten analysoimiseksi
 - ➔ Valmiudet oikean kaksifaasisen keraamin mallintamiseen
- Valmistettu reaktiivisella kuumapuristuksella kaksifaasista B4C-Al₂O₃ keraamia
- ➔ Lamellaarinen rakenne menetetään kun huokoisuus vähenee
- ➔ Lamellaarisuus tuotettava valmistusmenetelmän kautta ➔ 2018 siirrytään kerrostettuihin rakenteisiin



TECHNOLOGY «FOR BUSINESS»

